

Потеря устойчивости нулевого
состояния равновесия одного
класса краевых задач со
специальными краевыми
условиями

Леонид Ивановский

$$\dot{u} = u'' + \gamma u - \delta u^3, \quad (1)$$

$$u'(0, t) = 0, \quad u'(1, t) = F(u), \quad (2)$$

$$t \geq 0, \quad x \in [0, 1], \quad \delta \in \{0, 1\}, \quad \gamma \in \mathbb{R}.$$

$$\dot{u} = u'' + \gamma u - \delta u^3, \quad (1)$$

$$u'(0, t) = 0, \quad u'(1, t) = F(u), \quad (2)$$

$$t \geq 0, \quad x \in [0, 1], \quad \delta \in \{0, 1\}, \quad \gamma \in \mathbb{R}.$$

- $F(u) = \alpha u(x_0, t), \quad \delta = 1; \quad \alpha \in \mathbb{R}, \quad x_0 \in [0, 1).$
- $F(u) = \alpha u(x_0, t) + \beta u^3(x_0, t), \quad \delta = 0; \quad \beta \in \mathbb{R}.$

$$\dot{u} = u'' + \gamma u, \quad (3)$$

$$u'(0, t) = 0, \quad u'(1, t) = \alpha u(x_0, t). \quad (4)$$

Задача на собственные значения

$$u(x, t) = e^{\lambda t} v(x).$$

Задача на собственные значения

$$u(x, t) = e^{\lambda t} v(x).$$

$$v'' + (\gamma - \lambda)v = 0, \tag{5}$$

$$v'(0) = 0, \quad v'(1) = \alpha v(x_0). \tag{6}$$

Задача на собственные значения

$$u(x, t) = e^{\lambda t} v(x).$$

$$v'' + (\gamma - \lambda)v = 0, \tag{5}$$

$$v'(0) = 0, \quad v'(1) = \alpha v(x_0). \tag{6}$$

$$v(x) = c \operatorname{ch} \mu x, \quad c \in \mathbb{R}, \quad \mu = \sqrt{-\gamma + \lambda}.$$

- $\lambda = 0 : \mu = \sqrt{-\gamma},$

$$\alpha_u = \frac{\sqrt{-\gamma} \operatorname{sh} \sqrt{-\gamma}}{\operatorname{ch} \sqrt{-\gamma} x_0}, \quad (7)$$

- $\lambda = 0 : \mu = \sqrt{-\gamma},$

$$\alpha_u = \frac{\sqrt{-\gamma} \operatorname{sh} \sqrt{-\gamma}}{\operatorname{ch} \sqrt{-\gamma} x_0}, \quad (7)$$

- $\lambda = i\omega : \mu = \sqrt{-\gamma + i\omega},$

$$\alpha_c = \frac{\sqrt{-\gamma + i\omega} \operatorname{sh} \sqrt{-\gamma + i\omega}}{\operatorname{ch} \sqrt{-\gamma + i\omega} x_0}. \quad (8)$$

Построение зависимости $\alpha_c(\gamma)$

- $\gamma = 0, x_0 = 0$:

$$\begin{cases} \operatorname{tg} y + \operatorname{th} y = 0, \\ \alpha_c = y(\operatorname{sh} y \cos y - \operatorname{ch} y \sin y), \end{cases} \quad (9)$$

$$y = \sqrt{\frac{\omega}{2}}.$$

Построение зависимости $\alpha_c(\gamma)$

- $\gamma = 0, x_0 = 0$:

$$\begin{cases} \operatorname{tg} y + \operatorname{th} y = 0, \\ \alpha_c = y(\operatorname{sh} y \cos y - \operatorname{ch} y \sin y), \end{cases} \quad (9)$$

$$y = \sqrt{\frac{\omega}{2}}.$$

- $\gamma = 0, x_0 \neq 0$:

$$\begin{cases} \frac{\operatorname{sh} y \cos y + \operatorname{ch} y \sin y}{\operatorname{sh} y \cos y - \operatorname{ch} y \sin y} - \operatorname{tg} y x_0 \operatorname{th} y x_0 = 0, \\ \alpha_c = \frac{y \operatorname{sh} y \cos y - y \operatorname{ch} y \sin y}{\operatorname{ch} y x_0 \cos y x_0}. \end{cases} \quad (10)$$

Построение зависимости $\alpha_c(\gamma)$

- $\gamma = 0, x_0 = 0$:

$$\begin{cases} \operatorname{tg} y + \operatorname{th} y = 0, \\ \alpha_c = y(\operatorname{sh} y \cos y - \operatorname{ch} y \sin y), \end{cases} \quad (9)$$

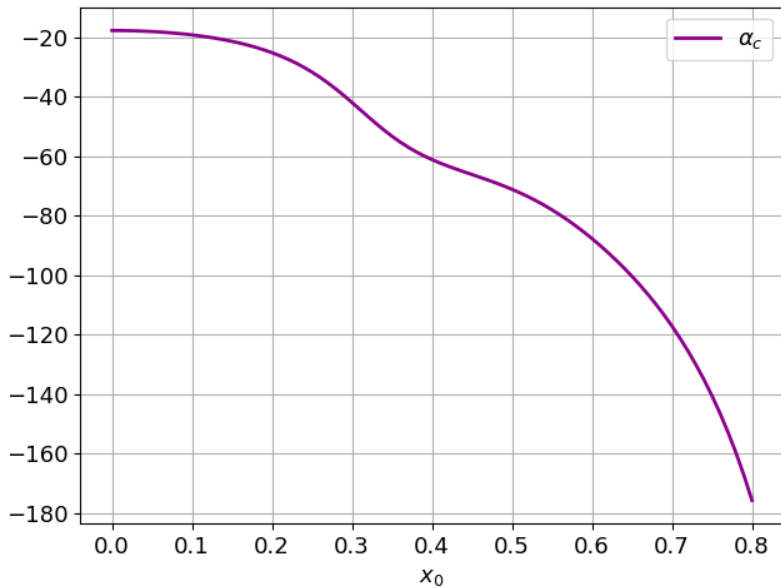
$$y = \sqrt{\frac{\omega}{2}}.$$

- $\gamma = 0, x_0 \neq 0$:

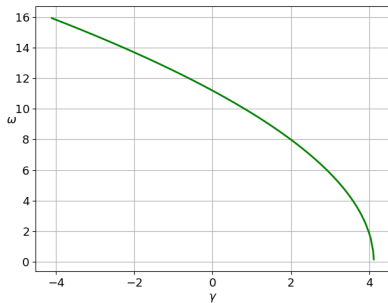
$$\begin{cases} \frac{\operatorname{sh} y \cos y + \operatorname{ch} y \sin y}{\operatorname{sh} y \cos y - \operatorname{ch} y \sin y} - \operatorname{tg} y x_0 \operatorname{th} y x_0 = 0, \\ \alpha_c = \frac{y \operatorname{sh} y \cos y - y \operatorname{ch} y \sin y}{\operatorname{ch} y x_0 \cos y x_0}. \end{cases} \quad (10)$$

- $\gamma \neq 0, x_0 \neq 0$.

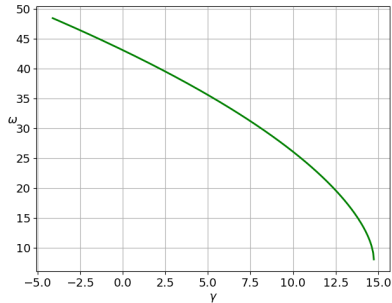
Численные результаты: $\alpha_c(x_0)$ при $\gamma = 0$



Численные результаты: $\omega(\gamma)$



a) $x_0 = 0.0$



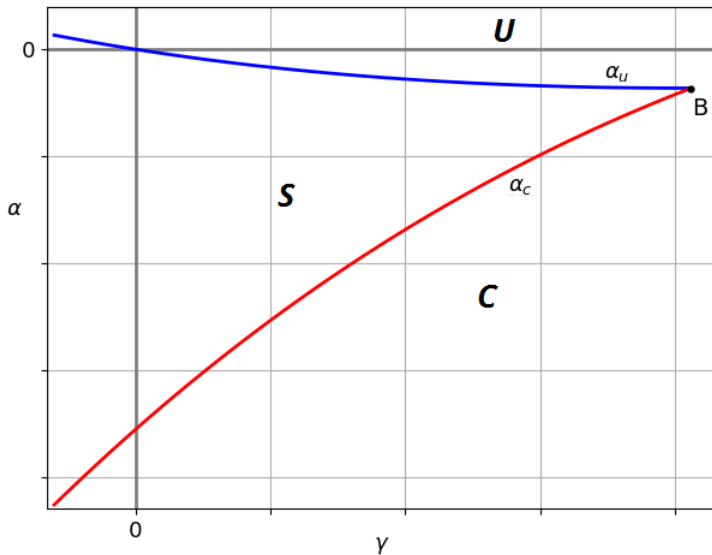
b) $x_0 = 0.5$

$$\dot{u}_j = n^2(u_{j+1} - 2u_j + u_{j-1}) + \gamma u_j, \quad j = \overline{1, n}, \quad (11)$$

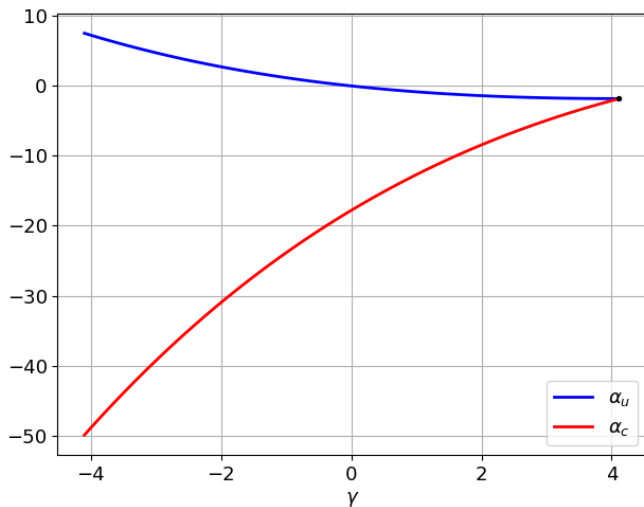
$$u_0 = u_1,$$

$$u_{n+1} = u_n + \frac{\alpha}{n} u_k, \quad k \in [1, n].$$

Схематическая визуализация кривых α_u и α_c

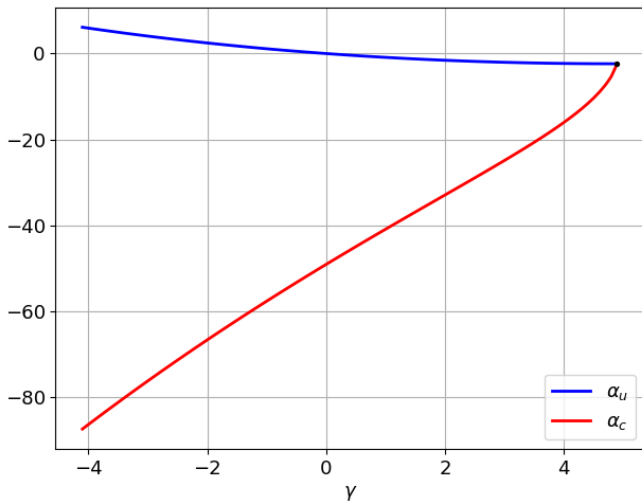


Численные результаты: $\alpha_{cr}(\gamma)$



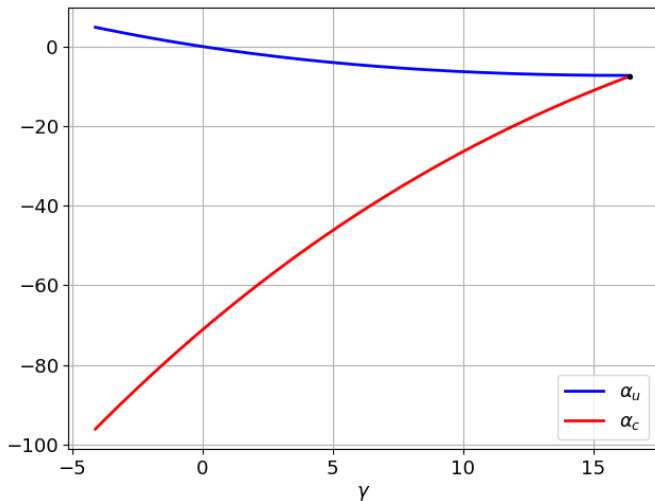
$$x_0 = 0 : \quad \gamma_* \approx 4.115$$

Численные результаты: $\alpha_{cr}(\gamma)$



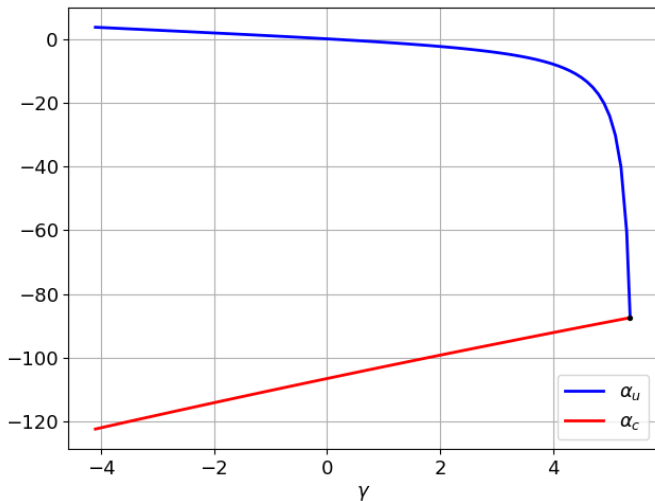
$$x_0 = 0.33 : \quad \gamma_* \approx 4.895$$

Численные результаты: $\alpha_{cr}(\gamma)$



$$x_0 = 0.5 : \quad \gamma_* \approx 16.4$$

Численные результаты: $\alpha_{cr}(\gamma)$



$$x_0 = 0.67 : \quad \gamma_* \approx 5.361$$

$$u = \sqrt{\varepsilon}u_0 + \varepsilon u_1 + \varepsilon^{\frac{3}{2}}u_2 + O(\varepsilon^2), \quad (12)$$

$$\varepsilon = |\alpha - \alpha_{cr}|,$$

$$\varepsilon \ll 1, \quad s = \varepsilon t.$$

Нелинейная краевая задача с линейным отклонением в краевом условии

$$\dot{u} = u'' + \gamma u - u^3, \quad (13)$$

$$u'(0, t) = 0, \quad u'(1, t) = \alpha u(x_0, t), \quad (14)$$

Случай дивергентной потери устойчивости

- $\lambda = 0$: $\varepsilon = \alpha - \alpha_u$,

Случай дивергентной потери устойчивости

- $\lambda = 0$: $\varepsilon = \alpha - \alpha_u$,

$$u_0 = u_0'' + \gamma u_0, \quad (15)$$

$$u_0'(0, t) = 0, \quad u_0'(1, t) = \alpha_u u_0(x_0, t), \quad (16)$$

$$u_0 = \rho(s) \operatorname{ch} \sqrt{-\gamma} x.$$

$$\dot{u}_2 + \frac{\partial u_0}{\partial s} = u_2'' + \gamma u_2 - u_0^3, \quad (17)$$

$$u_2'(0, t) = 0, \quad u_2'(1, t) = \alpha_u u_2(x_0, t) + u_0(x_0, t), \quad (18)$$

Случай дивергентной потери устойчивости

$$u_2 = e^{\lambda t} v_2(x), \quad \lambda = 0,$$

$$u_2 = e^{\lambda t} v_2(x), \quad \lambda = 0,$$

$$v_2'' + \gamma v_2 - \rho^3 \operatorname{ch}^3 \sqrt{-\gamma} x - \rho' \operatorname{ch} \sqrt{-\gamma} x = 0, \quad (19)$$

$$v_2'(0) = 0, \quad v_2'(1) = \alpha_u v_2(x_0) + \rho(s) \operatorname{ch} \sqrt{-\gamma} x_0. \quad (20)$$

Случай дивергентной потери устойчивости

$$u_2 = e^{\lambda t} v_2(x), \quad \lambda = 0,$$

$$v_2'' + \gamma v_2 - \rho^3 \operatorname{ch}^3 \sqrt{-\gamma} x - \rho' \operatorname{ch} \sqrt{-\gamma} x = 0, \quad (19)$$

$$v_2'(0) = 0, \quad v_2'(1) = \alpha_u v_2(x_0) + \rho(s) \operatorname{ch} \sqrt{-\gamma} x_0. \quad (20)$$

$$v_2 = c \operatorname{ch} \sqrt{-\gamma} x - \frac{\rho^3}{32} \operatorname{ch} 3\sqrt{-\gamma} x + \frac{3\rho^3 + 4\rho'}{8\sqrt{-\gamma}} x \operatorname{sh} \sqrt{-\gamma} x,$$

$$c \in \mathbb{R}.$$

$$\rho' = \phi_0 \rho + d_0 \rho^3, \quad (21)$$

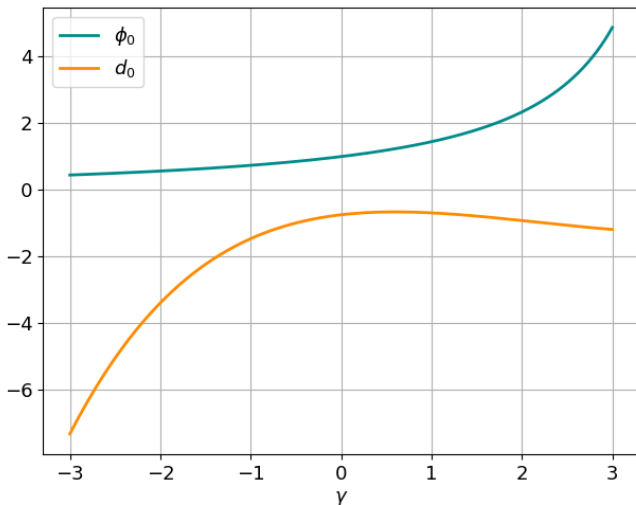
$$\rho' = \phi_0 \rho + d_0 \rho^3, \quad (21)$$

$$\phi_0 = \frac{2\mu \operatorname{ch} \mu x_0}{\mu \operatorname{ch} \mu + \operatorname{sh} \mu - \alpha_u x_0 \operatorname{sh} \mu x_0},$$

$$d_0 = \frac{-3\gamma \operatorname{sh} 3\mu - 12 \operatorname{sh} \mu - 12\mu \operatorname{ch} \mu - \alpha_u \mu \operatorname{ch} 3\mu x_0 + 12\alpha_u x_0 \operatorname{sh} \mu x_0}{16(\operatorname{sh} \mu + \mu \operatorname{ch} \mu - \alpha_u x_0 \operatorname{sh} \mu x_0)},$$

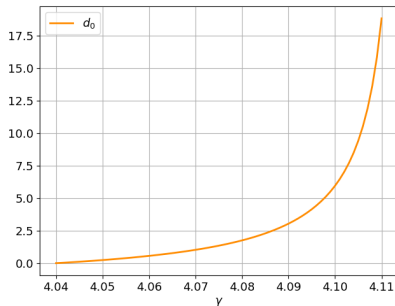
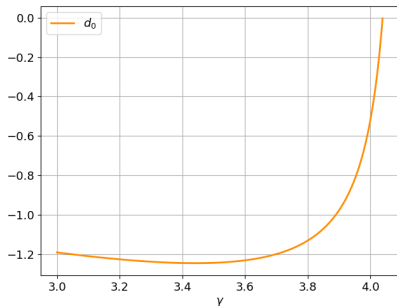
$$\mu = \sqrt{-\gamma}.$$

Численные результаты: $\phi_0(\gamma)$ и $d_0(\gamma)$



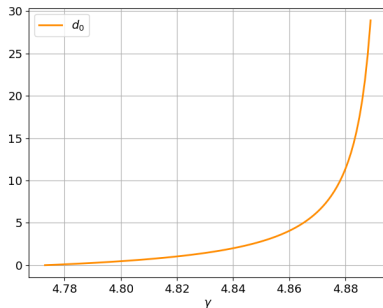
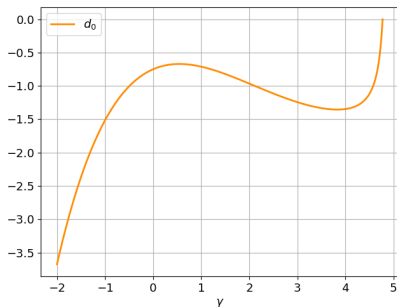
$$x_0 = 0$$

Численные результаты: $d_0(\gamma)$



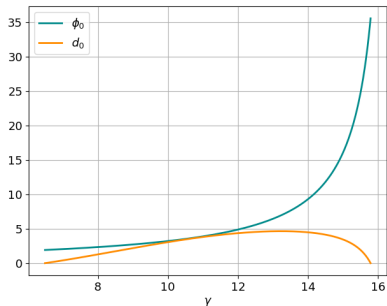
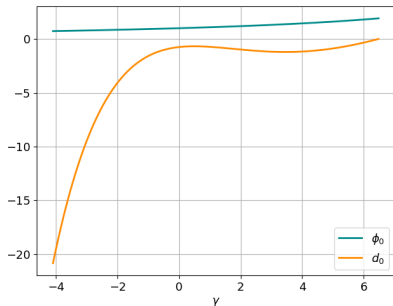
$$x_0 = 0 : \quad \tilde{\gamma} \approx 4.039, \quad \gamma_* \approx 4.115$$

Численные результаты: $d_0(\gamma)$



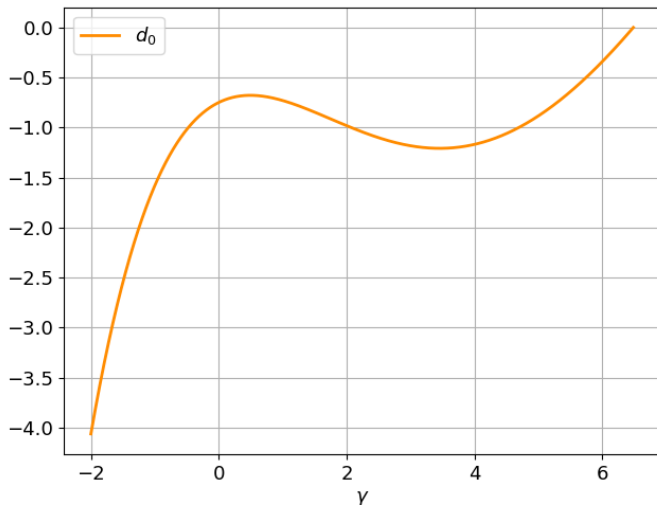
$$x_0 = 0.33 : \quad \tilde{\gamma} \approx 4.773, \quad \gamma_* \approx 4.895$$

Численные результаты: $\phi_0(\gamma)$ и $d_0(\gamma)$



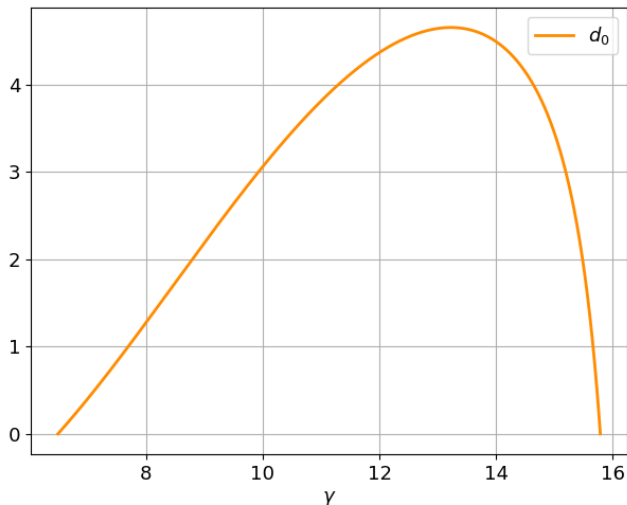
$$x_0 = 0.5 : \quad \tilde{\gamma}_1 \approx 6.485, \quad \tilde{\gamma}_2 \approx 15.792, \quad \gamma_* \approx 16.4$$

Численные результаты: $d_0(\gamma)$



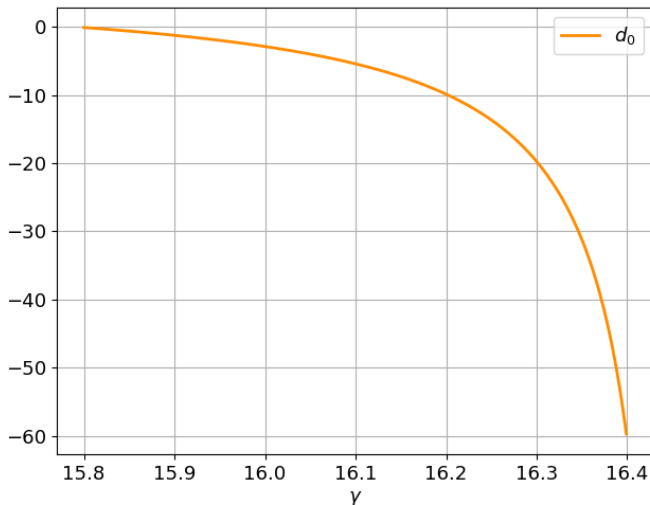
$$x_0 = 0.5 : \quad \tilde{\gamma}_1 \approx 6.485, \quad \gamma_* \approx 16.4$$

Численные результаты: $d_0(\gamma)$



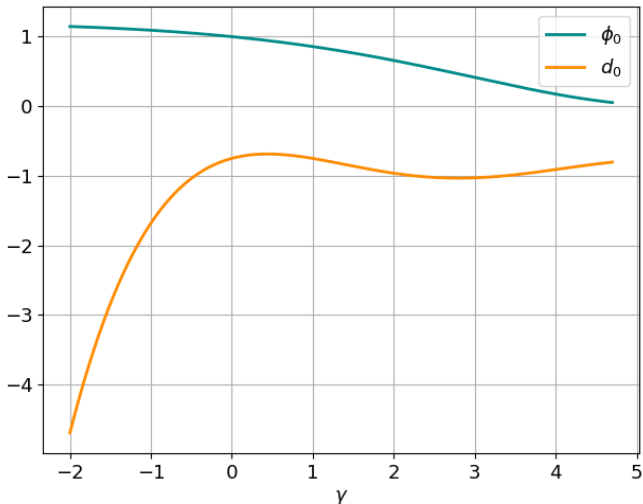
$$x_0 = 0.5 : \quad \tilde{\gamma}_1 \approx 6.485, \quad \tilde{\gamma}_2 \approx 15.792, \quad \gamma_* \approx 16.4$$

Численные результаты: $d_0(\gamma)$



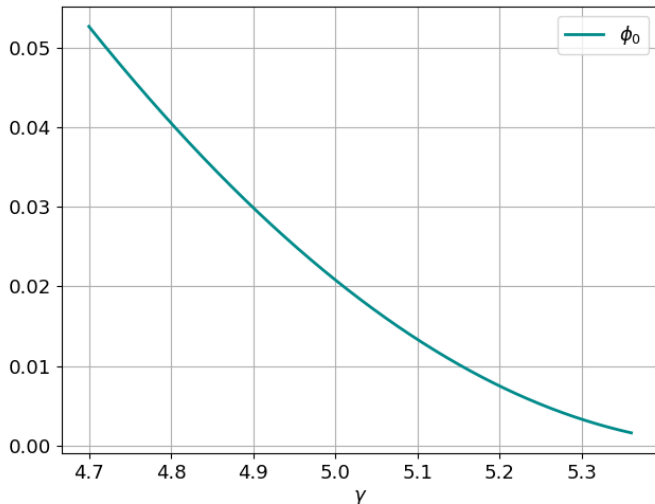
$$x_0 = 0.5 : \quad \tilde{\gamma}_2 \approx 15.792, \quad \gamma_* \approx 16.4$$

Численные результаты: $\phi_0(\gamma)$ и $d_0(\gamma)$



$$x_0 = 0.67 : \quad \gamma_* \approx 5.361$$

Численные результаты: $\phi_0(\gamma)$



$$x_0 = 0.67 : \quad \gamma_* \approx 5.361$$

Случай колебательной потери устойчивости

- $\lambda = \pm i\omega$: $\varepsilon = \alpha_c - \alpha$,

Случай колебательной потери устойчивости

- $\lambda = \pm i\omega$: $\varepsilon = \alpha_c - \alpha$,

$$u_0 = u_0'' + \gamma u_0, \quad (22)$$

$$u_0'(0, t) = 0, \quad u_0'(1, t) = \alpha_c u_0(x_0, t), \quad (23)$$

$$u_0 = z(s)e^{i\omega t} \operatorname{ch} \mu x + \overline{z(s)}e^{-i\omega t} \overline{\operatorname{ch} \mu x}.$$

$$\dot{u}_2 + \frac{\partial u_0}{\partial s} = u_2'' + \gamma u_2 - u_0^3, \quad (24)$$

$$u_2'(0, t) = 0, \quad u_2'(1, t) = \alpha_c u_2(x_0, t) + u_0(x_0, t), \quad (25)$$

Случай дивергентной потери устойчивости

$$u_2 = e^{i\omega t} v_2(x),$$

$$u_2 = e^{i\omega t} v_2(x),$$

$$v_2'' + (\gamma - i\omega)v_2 - z'w(x) - 3z|z|^2w|w|^2 = 0, \quad (26)$$

$$v_2'(0) = 0, \quad v_2'(1) = \alpha_u v_2(x_0) + z(s)w(x_0), \quad (27)$$

$$w(x) = \operatorname{ch} \sqrt{-\gamma + i\omega} x.$$

$$z' = \phi_0 z + d_0 z |z|^2, \quad (28)$$

$$z' = \phi_0 z + d_0 z |z|^2, \quad (28)$$

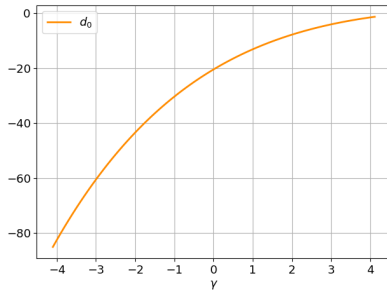
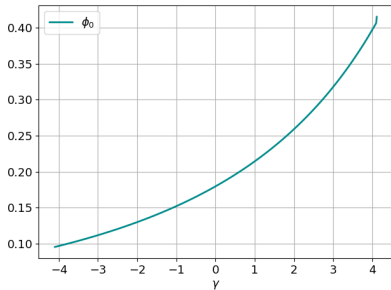
$$\phi_0 = -\operatorname{Re} \left(\frac{2\mu \operatorname{ch} \mu x_0}{\mu \operatorname{ch} \mu + \operatorname{sh} \mu - \alpha_c x_0 \operatorname{sh} \mu x_0} \right),$$

$$d_0 = \operatorname{Re} \left(\frac{3\mu(G(\mu + 2\operatorname{Re}\mu) + G(\mu + 2i\operatorname{Im}\mu) + 2G(\bar{\mu}))}{2(\mu \operatorname{ch} \mu + \operatorname{sh} \mu - \alpha_c x_0 \operatorname{sh} \mu x_0)} \right),$$

$$\mu = \sqrt{-\gamma + i\omega},$$

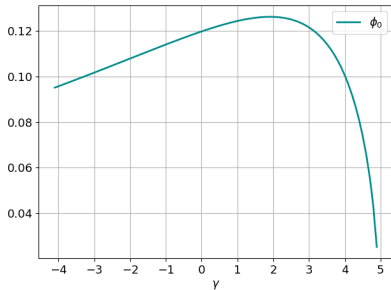
$$G(y) = \frac{\alpha_c - y \operatorname{sh} y}{y^2 + \gamma - i\omega}.$$

Численные результаты: $\phi_0(\gamma)$ и $d_0(\gamma)$



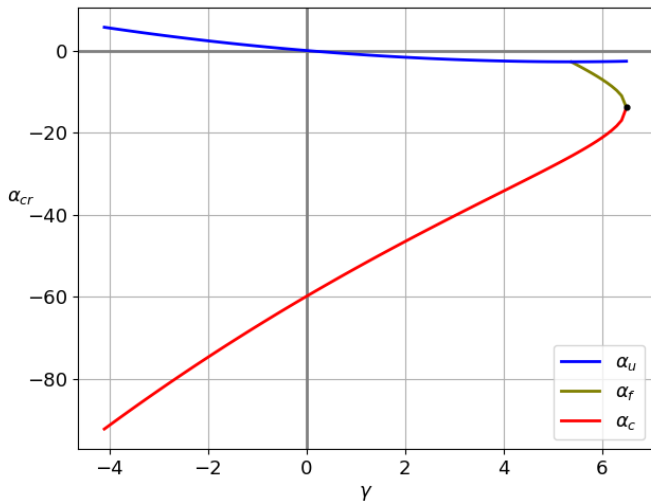
$$x_0 = 0$$

Численные результаты: $\phi_0(\gamma)$ и $d_0(\gamma)$



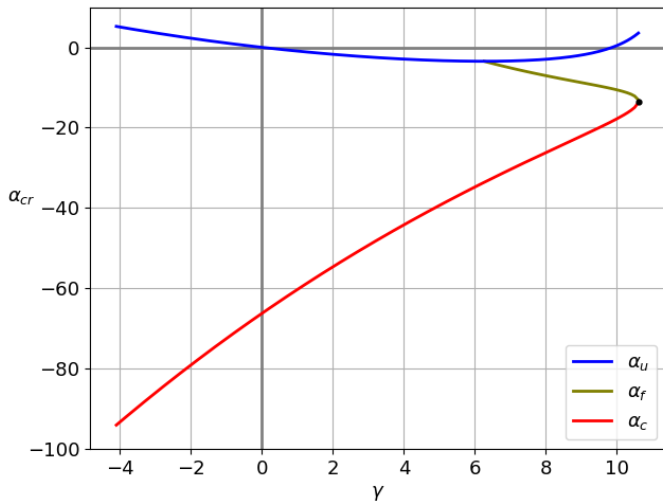
$$x_0 = 0.33$$

Численные результаты: $\alpha_{cr}(\gamma)$ для $x_0 \in (0.33, 0.5)$



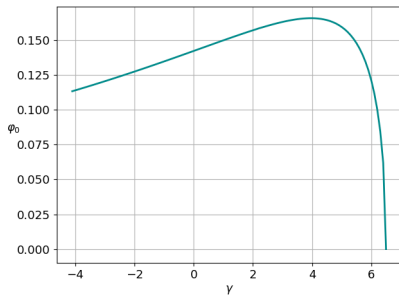
$$x_0 = 0.39 : \quad \bar{\gamma} \approx 5.375, \quad \gamma_* \approx 6.497$$

Численные результаты: $\alpha_{cr}(\gamma)$ для $x_0 \in (0.33, 0.5)$

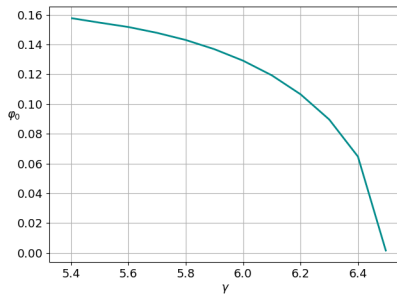


$$x_0 = 0.45 : \quad \bar{\gamma} \approx 6.258, \quad \gamma_* \approx 10.606$$

Численные результаты: $\phi_0(\gamma)$



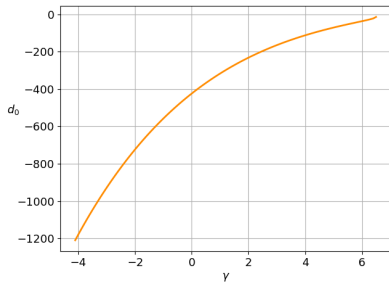
a) $\alpha = \alpha_c$



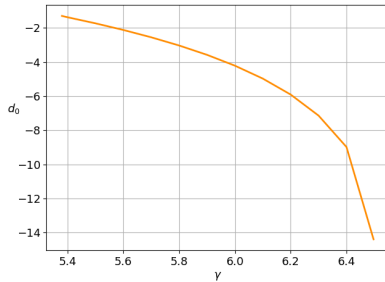
b) $\alpha = \alpha_f$

$$x_0 = 0.39$$

Численные результаты: $d_0(\gamma)$



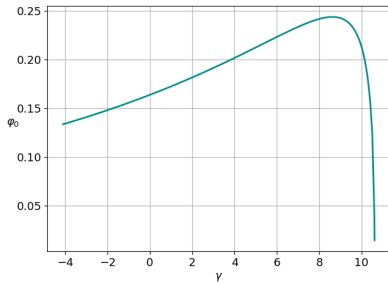
a) $\alpha = \alpha_c$



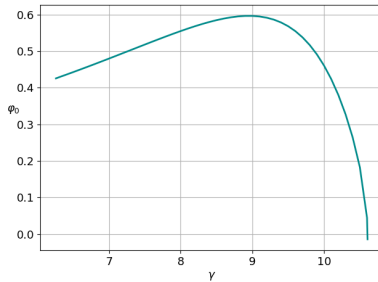
b) $\alpha = \alpha_f$

$$x_0 = 0.39$$

Численные результаты: $\phi_0(\gamma)$



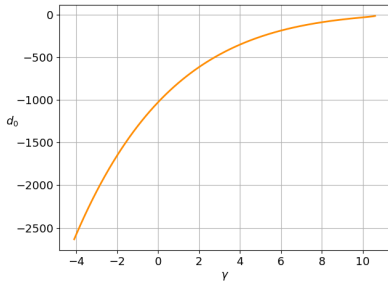
a) $\alpha = \alpha_c$



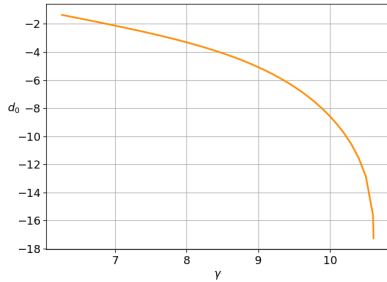
b) $\alpha = \alpha_f$

$$x_0 = 0.45$$

Численные результаты: $d_0(\gamma)$



a) $\alpha = \alpha_c$



b) $\alpha = \alpha_f$

$$x_0 = 0.45$$

$$\dot{u} = u'' + \gamma u, \quad (29)$$

$$u'(0, t) = 0, \quad u'(1, t) = \alpha u(x_0, t) + \beta u^3(x_0, t), \quad (30)$$

Случай дивергентной потери устойчивости

- $\lambda = 0$: $\varepsilon = \alpha - \alpha_u$,

- $\lambda = 0$: $\varepsilon = \alpha - \alpha_u$,

$$u_0 = u_0'' + \gamma u_0, \quad (31)$$

$$u_0'(0, t) = 0, \quad u_0'(1, t) = \alpha_u u_0(x_0, t), \quad (32)$$

$$u_0 = \rho(s) \operatorname{ch} \sqrt{-\gamma} x.$$

$$\dot{u}_2 + \frac{\partial u_0}{\partial s} = u_2'' + \gamma u_2, \quad (33)$$

$$u_2'(0, t) = 0, \quad u_2'(1, t) = \alpha_u u_2(x_0, t) + u_0(x_0, t) + \beta u_0^3(x_0, t), \quad (34)$$

Случай дивергентной потери устойчивости

$$u_2 = e^{\lambda t} v_2(x), \quad \lambda = 0,$$

$$u_2 = e^{\lambda t} v_2(x), \quad \lambda = 0,$$

$$v_2'' + \gamma v_2 - \rho' \operatorname{ch} \sqrt{-\gamma} x = 0, \quad (35)$$

$$v_2'(0) = 0, \quad v_2'(1) = \alpha_u v_2(x_0) + \rho \operatorname{ch} \sqrt{-\gamma} x_0 + \beta \rho^3 \operatorname{ch}^3 \sqrt{-\gamma} x_0. \quad (36)$$

$$u_2 = e^{\lambda t} v_2(x), \quad \lambda = 0,$$

$$v_2'' + \gamma v_2 - \rho' \operatorname{ch} \sqrt{-\gamma} x = 0, \quad (35)$$

$$v_2'(0) = 0, \quad v_2'(1) = \alpha_u v_2(x_0) + \rho \operatorname{ch} \sqrt{-\gamma} x_0 + \beta \rho^3 \operatorname{ch}^3 \sqrt{-\gamma} x_0. \quad (36)$$

$$v_2(x) = c \operatorname{ch} \sqrt{-\gamma} x + \frac{\rho'}{2\sqrt{-\gamma}} \operatorname{sh} \sqrt{-\gamma} x + \frac{\rho' x}{2} \operatorname{ch} \sqrt{-\gamma} x.$$
$$c \in \mathbb{R}.$$

$$\rho' = \phi_0 \rho + d_0 \rho^3, \quad (37)$$

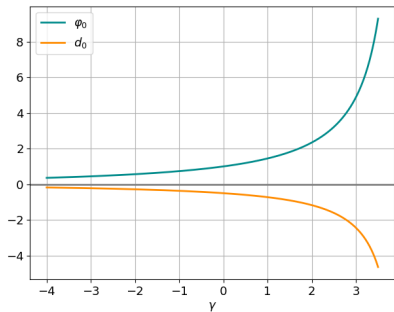
$$\rho' = \phi_0 \rho + d_0 \rho^3, \quad (37)$$

$$\phi_0 = Q \operatorname{ch} \sqrt{-\gamma} x_0,$$

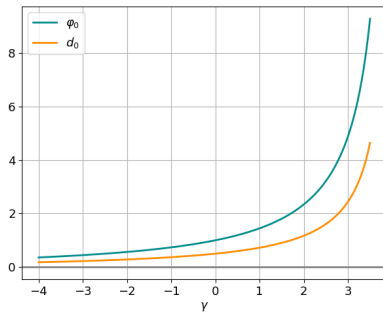
$$d_0 = \beta Q \operatorname{ch}^3 \sqrt{-\gamma} x_0,$$

$$Q = \frac{2\sqrt{-\gamma}}{\sqrt{-\gamma} \operatorname{ch} \sqrt{-\gamma} + \operatorname{sh} \sqrt{-\gamma} - \alpha_u x_0 \sqrt{-\gamma} x_0}.$$

Численные результаты: $\phi_0(\gamma)$ и $d_0(\gamma)$



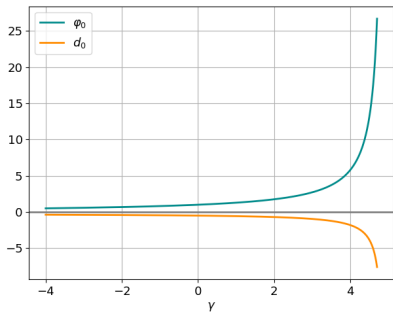
a) $\beta = -0.5$



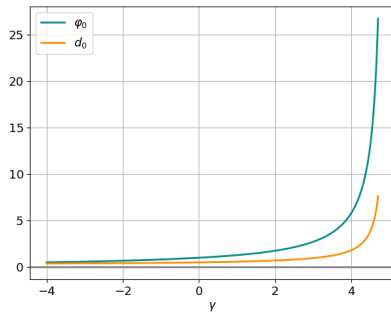
b) $\beta = 0.5$

$$x_0 = 0.0$$

Численные результаты: $\phi_0(\gamma)$ и $d_0(\gamma)$



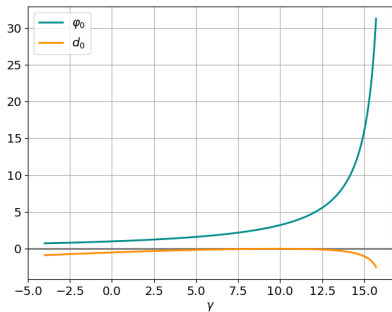
a) $\beta = -0.5$



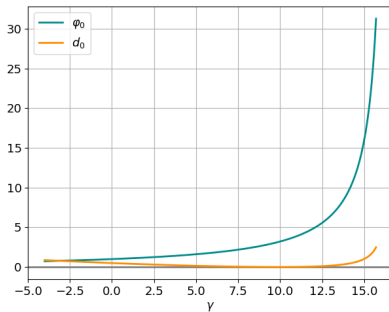
b) $\beta = 0.5$

$$x_0 = 0.33$$

Численные результаты: $\phi_0(\gamma)$ и $d_0(\gamma)$



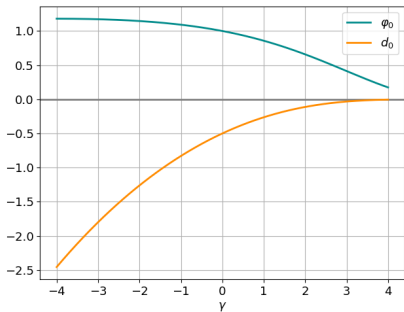
a) $\beta = -0.5$



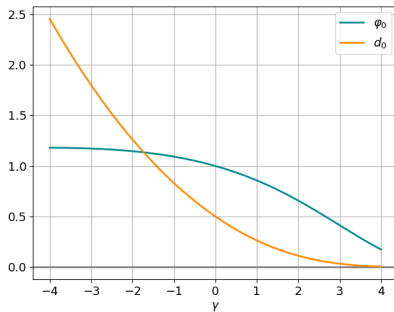
b) $\beta = 0.5$

$$x_0 = 0.5$$

Численные результаты: $\phi_0(\gamma)$ и $d_0(\gamma)$



a) $\beta = -0.5$



b) $\beta = 0.5$

$$x_0 = 0.67$$

Случай колебательной потери устойчивости

- $\lambda = \pm i\omega$: $\varepsilon = \alpha_c - \alpha$,

- $\lambda = \pm i\omega$: $\varepsilon = \alpha_c - \alpha$,

$$u_0 = u_0'' + \gamma u_0, \quad (38)$$

$$u_0'(0, t) = 0, \quad u_0'(1, t) = \alpha_c u_0(x_0, t), \quad (39)$$

$$u_0 = z(s)e^{i\omega t} \operatorname{ch} \mu x + \overline{z(s)}e^{-i\omega t} \overline{\operatorname{ch} \mu x}.$$

$$\dot{u}_2 + \frac{\partial u_0}{\partial s} = u_2'' + \gamma u_2, \quad (40)$$

$$u_2'(0, t) = 0, \quad u_2'(1, t) = \alpha_c u_2(x_0, t) - u_0(x_0, t) + \beta u_0^3(x_0, t). \quad (41)$$

$$u_2 = e^{i\omega t} v_2(x),$$

$$u_2 = e^{i\omega t} v_2(x),$$

$$v_2'' + (\gamma - i\omega)v_2 - z'w(x) = 0, \quad (42)$$

$$v_2'(0) = 0, \quad v_2'(1) = \alpha_u v_2(x_0) - zw(x_0) + 3\beta z|z|^2 w|w|^2. \quad (43)$$

$$w(x) = \operatorname{ch} \sqrt{-\gamma + i\omega} x.$$

$$z' = \phi_0 z + d_0 z |z|^2, \quad (44)$$

$$z' = \phi_0 z + d_0 z |z|^2, \quad (44)$$

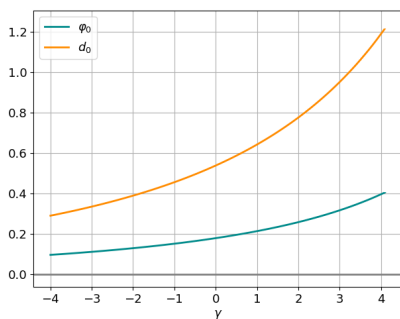
$$\phi_0 = -2 \operatorname{Re}(Q \operatorname{ch} \mu x_0),$$

$$d_0 = 1.5\beta \operatorname{Re}(Q(\operatorname{ch}(\mu + 2 \operatorname{Re} \mu)x_0 + \operatorname{ch}(\mu + 2i \operatorname{Im} \mu)x_0 + 2 \operatorname{ch} \bar{\mu}x_0)),$$

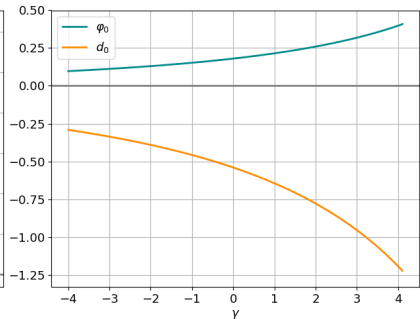
$$\mu = \sqrt{-\gamma + i\omega},$$

$$Q = \frac{\mu}{\mu \operatorname{ch} \mu + \operatorname{sh} \mu - \alpha_c x_0 \operatorname{sh} \mu x_0}.$$

Численные результаты: $\phi_0(\gamma)$ и $d_0(\gamma)$



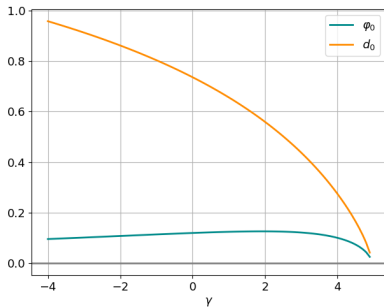
a) $\beta = -1.0$



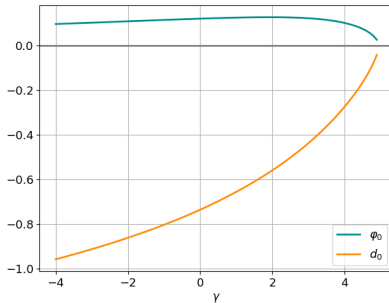
b) $\beta = 1.0$

$$x_0 = 0.0$$

Численные результаты: $\phi_0(\gamma)$ и $d_0(\gamma)$



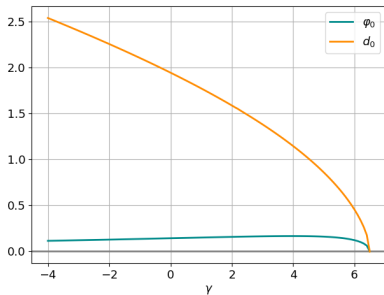
a) $\beta = -1.0$



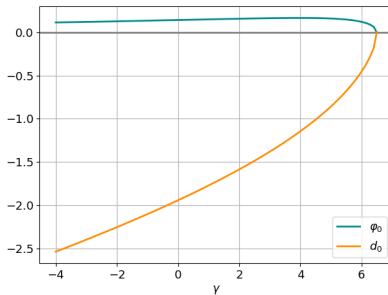
b) $\beta = 1.0$

$$x_0 = 0.33$$

Численные результаты: $\phi_0(\gamma)$ и $d_0(\gamma)$ при $\alpha = \alpha_c$



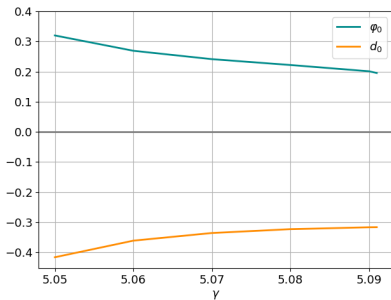
a) $\beta = -1.0$



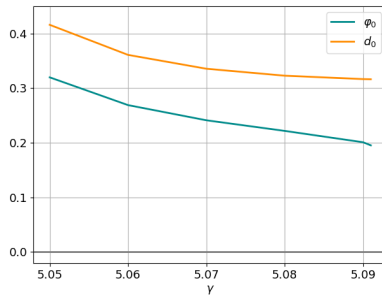
b) $\beta = 1.0$

$$x_0 = 0.39$$

Численные результаты: $\phi_0(\gamma)$ и $d_0(\gamma)$ при $\alpha = \alpha_f$



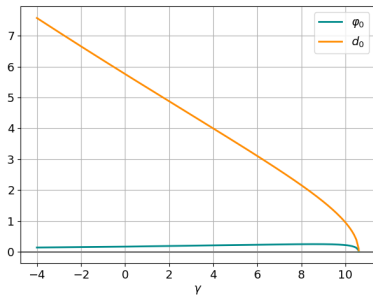
a) $\beta = -1.0$



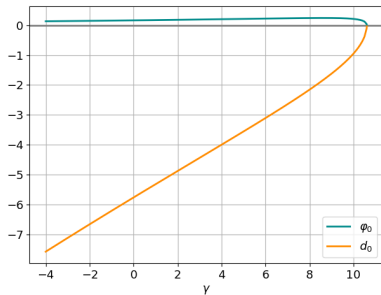
b) $\beta = 1.0$

$$x_0 = 0.39$$

Численные результаты: $\phi_0(\gamma)$ и $d_0(\gamma)$ при $\alpha = \alpha_c$



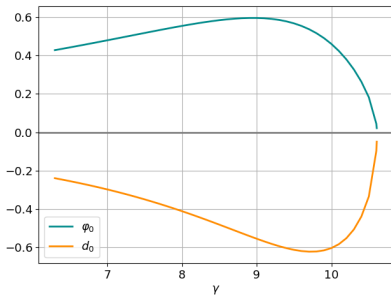
a) $\beta = -1.0$



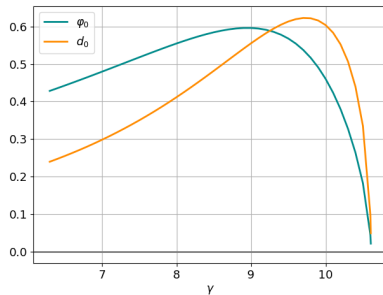
b) $\beta = 1.0$

$$x_0 = 0.45$$

Численные результаты: $\phi_0(\gamma)$ и $d_0(\gamma)$ при $\alpha = \alpha_f$



a) $\beta = -1.0$



b) $\beta = 1.0$

$$x_0 = 0.45$$

Краевая задача с интегральным отклонением в краевом условии

$$\dot{u} = u'' + \gamma u - u^3, \quad (45)$$

$$u'(0, t) = 0, \quad u'(1, t) = \alpha \int_0^1 u(t, y) dy, \quad (46)$$

$$\dot{u} = u'' + \gamma u, \quad (47)$$

$$u'(0, t) = 0, \quad u'(1, t) = \alpha_{cr} \int_0^1 u(t, y) dy. \quad (48)$$

Задача на собственные значения

$$u(x, t) = e^{\lambda t} v(x).$$

Задача на собственные значения

$$u(x, t) = e^{\lambda t} v(x).$$

$$v'' + (\gamma - \lambda)v = 0, \quad (49)$$

$$v'(0) = 0, \quad v'(1) = \alpha_{cr} \int_0^1 v(y) dy. \quad (50)$$

Задача на собственные значения

$$u(x, t) = e^{\lambda t} v(x).$$

$$v'' + (\gamma - \lambda)v = 0, \tag{49}$$

$$v'(0) = 0, \quad v'(1) = \alpha_{cr} \int_0^1 v(y) dy. \tag{50}$$

$$v(x) = c \operatorname{ch} \mu x, \quad c \in \mathbb{R}, \quad \mu = \sqrt{-\gamma + \lambda}.$$

$$\alpha_{cr} = \mu^2 = -\gamma + \lambda, \quad (51)$$

$$\alpha_{cr} = \mu^2 = -\gamma + \lambda, \quad (51)$$

- $\lambda = 0 : \mu = \sqrt{-\gamma},$

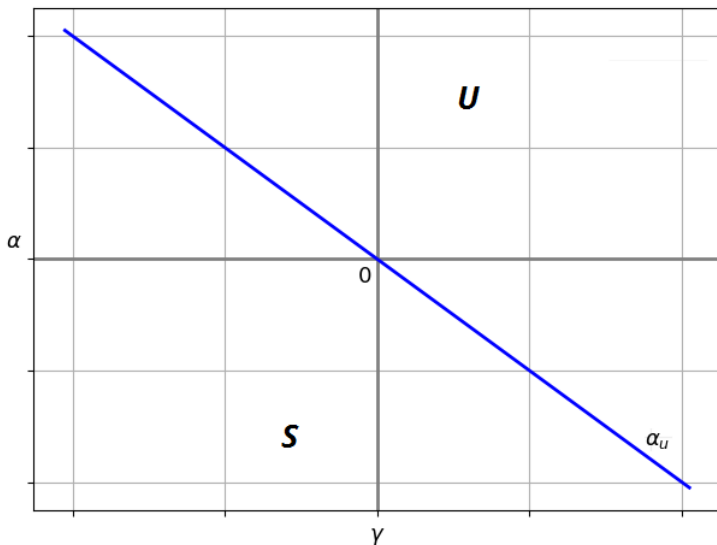
$$\alpha_u = -\gamma. \quad (52)$$

$$\dot{u}_j = n^2(u_{j+1} - 2u_j + u_{j-1}) + \gamma u_j, \quad j = \overline{1, n}, \quad (53)$$

$$u_0 = u_1,$$

$$u_{n+1} = u_n + \frac{\alpha}{n^2} \sum_{k=1}^n u_k, \quad k \in [1, n].$$

График кривой $\alpha_u(\gamma)$



$$u = \sqrt{\varepsilon}u_0 + \varepsilon u_1 + \varepsilon^{\frac{3}{2}}u_2 + O(\varepsilon^2), \quad (54)$$

$$\varepsilon = \alpha - \alpha_u,$$

$$\varepsilon \ll 1, \quad s = \varepsilon t.$$

Случай дивергентной потери устойчивости

$$\dot{u}_0 = u_0'' + \gamma u_0, \quad (55)$$

$$u_0'(0, t) = 0, \quad u_0'(1, t) = \alpha_u \int_0^1 u_0(s, y) dy, \quad (56)$$

$$u_0 = \rho(s) \operatorname{ch} \sqrt{-\gamma} x.$$

$$\dot{u}_2 + \frac{\partial u_0}{\partial s} = u_2'' + \gamma u_2 - u_0^3, \quad (57)$$

$$u_2'(0, t) = 0, \quad u_2'(1, t) = \alpha_u \int_0^1 u_2(t, y) dy + \int_0^1 u_0(s, y) dy, \quad (58)$$

Случай дивергентной потери устойчивости

$$u_2 = e^{\lambda t} v_2(x), \quad \lambda = 0,$$

Случай дивергентной потери устойчивости

$$u_2 = e^{\lambda t} v_2(x), \quad \lambda = 0,$$

$$v_2'' + \gamma v_2 - \rho' \operatorname{ch} \sqrt{-\gamma} x - \frac{3\rho^3 \operatorname{ch} \sqrt{-\gamma} x}{4} - \frac{\rho^3 \operatorname{ch} 3\sqrt{-\gamma} x}{4} = 0, \quad (59)$$

$$v_2'(0) = 0, \quad v_2'(1) = \alpha_u \int_0^1 v_2(y) dy + \frac{z \operatorname{sh} \sqrt{-\gamma}}{\sqrt{-\gamma}}. \quad (60)$$

Случай дивергентной потери устойчивости

$$u_2 = e^{\lambda t} v_2(x), \quad \lambda = 0,$$

$$v_2'' + \gamma v_2 - \rho' \operatorname{ch} \sqrt{-\gamma} x - \frac{3\rho^3 \operatorname{ch} \sqrt{-\gamma} x}{4} - \frac{\rho^3 \operatorname{ch} 3\sqrt{-\gamma} x}{4} = 0, \quad (59)$$

$$v_2'(0) = 0, \quad v_2'(1) = \alpha_u \int_0^1 v_2(y) dy + \frac{z \operatorname{sh} \sqrt{-\gamma}}{\sqrt{-\gamma}}. \quad (60)$$

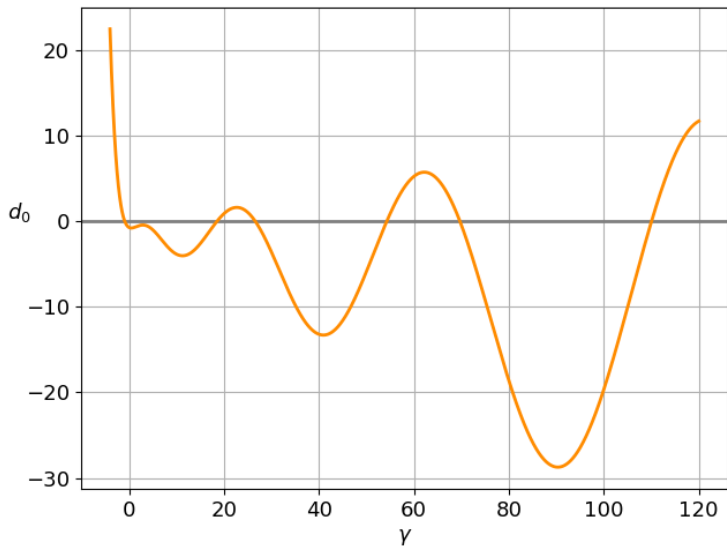
$$v_2 = c \operatorname{ch} \sqrt{-\gamma} x + -\frac{z^3}{32} \operatorname{ch} 3\sqrt{-\gamma} x + \frac{3z^3 + 4z'}{8\sqrt{-\gamma}} x \operatorname{sh} \sqrt{-\gamma} x$$

$$c \in \mathbb{R}.$$

$$\rho' = \rho + d_0 \rho^3, \quad (61)$$

$$d_0 = -\frac{5\gamma \operatorname{sh} 3\sqrt{-\gamma}}{48 \operatorname{sh} \sqrt{-\gamma}} - \frac{3}{4},$$

Численные результаты: $d_0(\gamma)$



Потеря устойчивости нулевого
состояния равновесия одного
класса краевых задач со
специальными краевыми
условиями

Леонид Ивановский